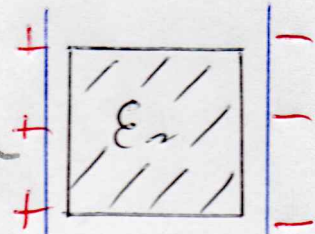


3. Elektrodynamik in Materie

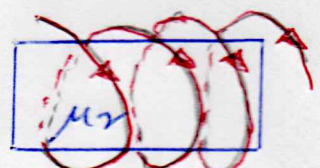
Bisher haben wir uns darauf beschränkt, die Elektrodynamik im Vakuum in Anwesenheit freier Ladungen und Ströme zu behandeln. Nun wollen wir die Beschreibung erweitern und auch elektrodynamische Phänomene in Materie behandeln. Zwei grundlegende Beispiele aus Spule und Induktivität sollen erläutern, dass dieses Gebiet von praktischer Bedeutung ist.

- Plattenkondensator mit Dielektrikum: die Kapazität C eines Kondensators erhöht sich beim Eindringen eines Dielektrikums um die relative Dielektrizitätskonstante ϵ_r , d.h. $C \sim \epsilon_r$.



- Spule mit Eisenkern:

die Induktivität L einer Spule erhöht sich bei Anwesenheit eines paramagnetischen Kerns um die relative Permeabilitätskonstante μ_r , d.h. $L \sim \mu_r$.



Wir untersuchen im Folgenden, wie sich die Maxwell-Gleichungen in Materie verändern. Dabei ist zu berücksichtigen, dass neben den freien ungebundenen Ladungen und Strömen auftreten können. Es stellt sich heraus, dass gebundene Ladungen die elektrische Feldstärke E durch die Polarisierung der Materie abdämpfen. Im Unterschied dazu führen die gebundenen Ströme dazu, dass die magnetische Induktion B durch die Magnetisierung der Materie bei Paramagnetismus verstärkt und bei Diamagnetismus verringert wird.

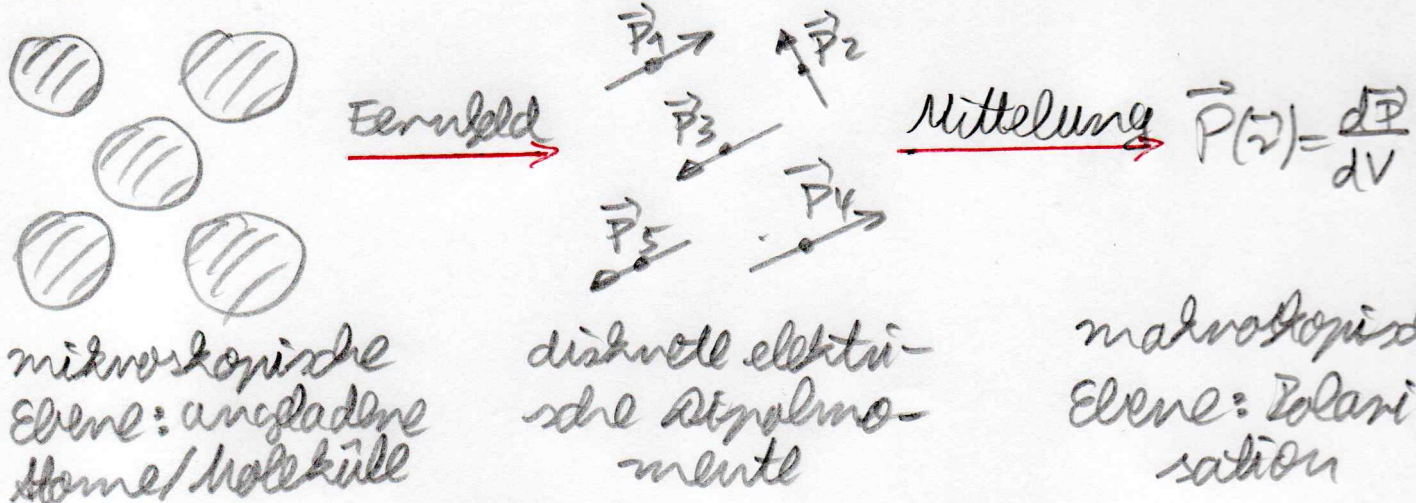
3.1 Nahwirkungsreiche Elektrostatisik:

Bisher wurde die Elektrostatisik nur für freie Ladungen im Vakuum erfasst. Um elektrische Felder auch in einem nicht-leitenden Medium berechnen zu können, ist eine Erweiterung erforderlich. Ein solches Medium besitzt nämlich auch nicht frei bewegliche Ladungen, die man als gebundene Ladungen bezeichnet und die Anwesenheit dieser gebundenen Ladungen verändert das elektrische Feld.

In einem Dielektrikum werden nämlich elektrische Dipolmomente induziert oder bereits existierende elektrische Dipole werden durch ein elektrisches Feld ausgerichtet. Dieser Effekt wird durch die Polarisation P festgestellt, die als Dipoldichte das elektrische Dipolmoment pro Volumen beschreibt:

$$\vec{P} = \frac{d\vec{p}}{dV} \quad (8.1)$$

Bei dieser Definition der Polarisation haben wir offenbar ein Kontinuum angenommen. In Wirklichkeit aber besteht ein Dielektrikum aus diskreten Atomen oder Molekülen. In der makroskopischen Elektrostatik betrachten wir Größen, die zwar im Vergleich zur atomaren Längenskala von 10^{-10} m sehr groß, aber im Vergleich zur Systemgröße kleine räumliche Skalen als gemittelte Größen zu verstehen sind. Im Folgenden gehen wir von den bisher bekannten mikroskopischen Elektrostatik aus und zeigen, wie sich die makroskopische Elektrostatik daraus ableiten lässt. Die dabei vorgelegte Grundidee lässt sich wie folgt schematisch darstellen:



8.1.1 Multipoarentwicklung:

Eine mikroskopische Ladungsdichte $s(\vec{r})$ führt zum elektrischen Potential

$$\varphi(\vec{r}) = \frac{1}{4\pi\epsilon_0} \int dV' \frac{s(\vec{r}')}{|\vec{r} - \vec{r}'|} \quad (8.2)$$

Die Ladungsdichte soll dabei räumlich begrenzt sein

$$s(\vec{r}') \begin{cases} \neq 0 & ; |\vec{r}'| < R \\ = 0 & ; |\vec{r}'| > R \end{cases} \quad (8.3)$$

und wir sind am elektrischen Potential $\varphi(\vec{r})$ an einem Ort \vec{r} weit weg vom Raumbereich der Ladungsdichte interessiert, so dass gilt

$$|\vec{r}'| \ll |\vec{r}| \quad (8.4)$$

deshalb lässt sich das Coulomb-Potential als Grenzfunktion der Poisson-Gleichung in (8.2) in eine Taylor-Reihe entwickeln:

$$\frac{1}{|\vec{r} - \vec{r}'|^4} = \frac{1}{r} \left\{ 1 + \frac{\vec{r} \cdot \vec{r}'}{r^2} + \dots \right\} \quad (8.5)$$

Einsetzen von (8.5) in (8.2) führt auf die Multipoletwicklung des elektrischen Potentials

$$\varphi(\vec{r}) = \frac{1}{4\pi\epsilon_0} \left\{ \frac{q}{r} + \frac{\vec{p} \cdot \vec{r}}{r^3} + \dots \right\} \quad (8.6)$$

Hierbei bezeichnet q die Ladung, also den Monopol, der Ladungsverteilung

$$q = \int dV' \, g(\vec{r}') \quad (8.7)$$

und \vec{p} bezeichnet das elektrische Dipolmoment

$$\vec{p} = \int dV' \, \vec{r}' \, g(\vec{r}') \quad (8.8)$$

8.1.2 gebundene Ladungen:

Wir konzentrieren uns nun auf die Beschreibung der gebundenen Ladungen eines Dielektrikums. Da die Atome und Moleküle elektrisch neutral sind, verdrängt deren Monopolbeitrag im Flussfeld (8.4). Daher ist der führende Beitrag von Atomen und Molekülen durch den Dipolbeitrag gegeben. Im Folgenden werden wir alle höheren Multipolbeiträge nicht berücksichtigen, da deren Beitrag gegenüber dem Dipolbeitrag vernachlässigbar sind.

Wir summieren daher über die elektrischen Atome \vec{P}_k , aller Atome und Moleküle im Dielektrikum an den jeweiligen Orten \vec{r}_k und erhalten für das elektrische Potential der gebundenen Ladungen

$$\varphi_g(\vec{r}) = \frac{1}{4\pi\epsilon_0} \sum_k \frac{\vec{P}_k \cdot (\vec{r} - \vec{r}_k)}{|\vec{r} - \vec{r}_k|^3} \quad (8.9)$$

All diese diskreten Dipolbeiträge lassen sich nun in eine Kontinuumssumme überführen:

$$\varphi_g(\vec{r}) = \frac{1}{4\pi\epsilon_0} \int_V \frac{\vec{P}(\vec{r}') \cdot (\vec{r} - \vec{r}')}{|\vec{r} - \vec{r}'|^3} \quad (8.10)$$

wobei die Polarisierung somit als Dolumendichte der elektrischen Dipolmomente eingeführt wurde

$$\vec{P}(\vec{r}') = \sum_k \vec{P}_k \delta(\vec{r}' - \vec{r}_k) \quad (8.11)$$

Dies bei einbringt (8.10) schon die gesuchten Auswirkungen der umgebenden Ladungen des Dielektrikums auf das elektrische Potential. Man kann aber (8.10) noch weiter umformen und dabei ein physikalisch intuitiveres Resultat erzielen.

Dazu erkennen wir die Identitäten

$$\frac{\vec{r} - \vec{r}'}{|\vec{r} - \vec{r}'|^3} = -\vec{\nabla} \frac{1}{|\vec{r} - \vec{r}'|} = \vec{\nabla}' \frac{1}{|\vec{r} - \vec{r}'|} \quad (8.12)$$

Einsetzen von (8.12) in (8.10) führt auf

$$\varphi_g(\vec{r}) = \frac{1}{4\pi\epsilon_0} \int_V dV' \vec{P}(\vec{r}') \cdot \vec{\nabla}' \frac{1}{|\vec{r} - \vec{r}'|} \quad (8.13)$$

Es liegt nun nahe, eine partielle Integration anzustreben:

$$\varphi_g(\vec{r}) = \frac{1}{4\pi\epsilon_0} \int_V \left\{ \vec{\nabla}' \left[\frac{\vec{P}(\vec{r}')}{|\vec{r} - \vec{r}'|} \right] - \frac{1}{|\vec{r} - \vec{r}'|} \vec{\nabla}' \cdot \vec{P}(\vec{r}') \right\} \quad (8.14)$$

Im ersten Term werden wir nun den Satz von Gauß an. Im Unterschied zu anderen Anwendungen des Satzes von Gauß vernachlässigen wir aber dieses Mal nicht das resultierende Oberflächenintegral. Wir gehen nämlich in (8.10) bzw. (8.14) davon aus, dass wir ein endliches Volumen V des Dielektrikums betrachten. Damit geht (8.14) über in

$$\varphi_g(\vec{r}) = \frac{1}{4\pi\epsilon_0} \int_V dV' \frac{-\operatorname{div}' \vec{P}(\vec{r}')}{|\vec{r} - \vec{r}'|} + \frac{1}{4\pi\epsilon_0} \oint_{\partial V} \frac{\vec{P}(\vec{r}')}{|\vec{r} - \vec{r}'|} \cdot d\vec{l}' \quad (8.15)$$

Der erste Term sieht so aus wie das elektrische Potential einer Volumenladungsdichte

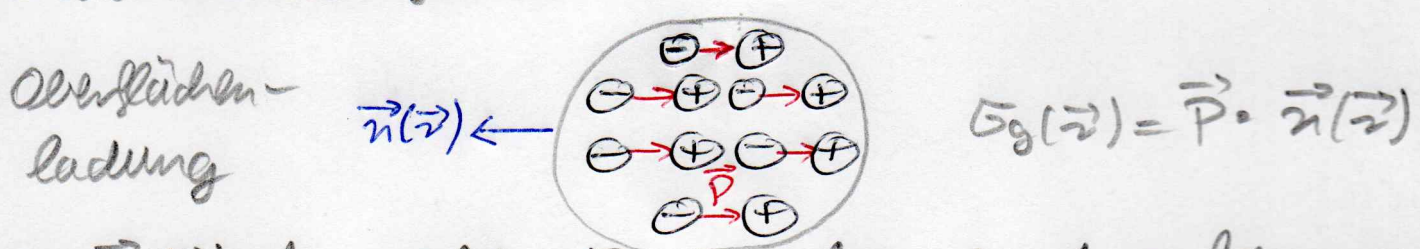
$$S_g(\vec{r}) = -\operatorname{div} \vec{P}(\vec{r}) \quad (8.16)$$

während der zweite Term dem elektrischen Potential einer Flächenladungsdichte

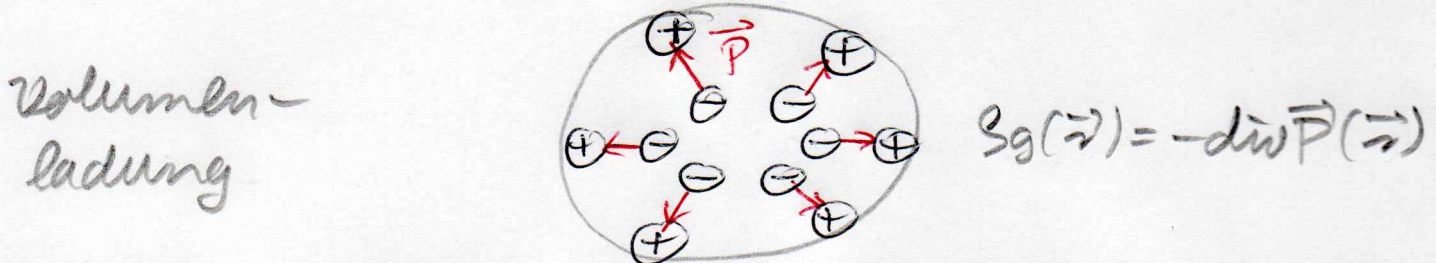
$$G_g(\vec{r}) = \vec{P}(\vec{r}) \cdot \vec{n}(\vec{r}) \quad (8.17)$$

entspricht, wobei $\vec{n}(\vec{r})$ den Normallvektor der Oberfläche ∂V bezeichnet. Sie Beiträge (8.16) und (8.17) stammen also von den gerundeten Ladungen des Dielektrikums, die man auch als Polarisationsladungen bezeichnet.

Man kann auch intuitiv verstehen, wie die gebundenen Ladungen aufgrund der Polarisation $\vec{P}(\vec{r})$ zustande kommen. Dazu stellen wir uns $\vec{P}(\vec{r})$ aus kleinen elektrischen Dipolen zusammen getat vor. Ist $\vec{P}(\vec{r}) = \text{const.}$, so kompensieren sich die positiven und negativen Ladungen der einzelnen Dipole im Innern, aber nicht an der Oberfläche. Dies erlässt die Entstehung der Flächenladungsdichte (8.17):



Ist $\vec{P}(\vec{r})$ aber nicht räumlich konstant, so kompensieren sich die gebundenen Ladungen der einzelnen elektrischen Dipole nicht mehr im Volumen und es entsteht eine Volumenladungsdichte (8.16):



Mit Hilfe von (8.16) und (8.17) geht (8.15) über in das Endergebnis für das elektrische Potential der gebundenen Ladungen:

$$\varphi_g(\vec{r}) = \frac{1}{4\pi\epsilon_0} \int_V dV' \frac{Sg(\vec{r}')}{|\vec{r} - \vec{r}'|} + \frac{1}{4\pi\epsilon_0} \oint_{\partial V} dF' \frac{Sg(\vec{r}')}{|\vec{r} - \vec{r}'|} \quad (8.18)$$

8.1.3 Entelektrisierungsvektoren:

Wir betrachten nun als Spezialfall eine Polarisation, die räumlich konstant ist, d.h. $\vec{P}(\vec{r}) = \vec{P}$. Dann folgt aus (8.16) – (8.18):

$$\varphi_g(\vec{r}) = \frac{1}{4\pi\epsilon_0} \oint_{\partial V} \frac{d\vec{F}(\vec{r}')}{|\vec{r} - \vec{r}'|} \cdot \vec{P} \quad (8.19)$$

Für die entsprechende elektrische Feldstärke

$$\vec{E}_g(\vec{r}) = -\text{grad } \varphi_g(\vec{r}) \quad (8.20)$$

erhalten wir dann die Komponenten

$$E_{gi}(\vec{r}) = -\frac{1}{\epsilon_0} N_{ij}(\vec{r}) P_j \quad (8.21)$$

mit dem Entelektrisierungstensor

$$N_{ij}(\vec{r}) = \frac{-1}{4\pi} \oint_{\partial V} \frac{x_i - x'_j}{|\vec{r} - \vec{r}'|^3} dF_j \quad (8.22)$$

Offenbar führt die Oberflächenladung der Polarisierung zu einem elektrischen Feld, d.h. gemäß

$$\vec{E}_g = -\frac{1}{\epsilon_0} N \vec{P} \quad (8.23)$$

der Polarisierung entgegengesetzt gerichtet ist.

Für den Entelektrisierungstensor N können wir nun eine Gleichung ableiten. Für die Spur von N erhalten wir zunächst

$$SPN = N_{ii} \quad (8.22) \quad \frac{-1}{4\pi} \oint_{\partial V} \frac{\vec{r} - \vec{r}'}{|\vec{r} - \vec{r}'|^3} \cdot d\vec{F}' \quad (8.24)$$

Insgesamt vom (8.12) reduziert sich dies auf

$$SPN = \frac{-1}{4\pi} \oint_{\partial V} \left[\vec{v}' \frac{1}{|\vec{r} - \vec{r}'|} \right] \cdot d\vec{F}' \quad (8.25)$$

Zuletzt kann der Satz von Gauß angewandt werden:

$$SPN = \frac{-1}{4\pi} \int_V dv' \Delta' \frac{1}{|\vec{r} - \vec{r}'|} \quad (8.26)$$

Da das Coulomb-Potential gemäß (2.36) die Greensche Funktion der Poisson-Gleichung ist, folgt

$$SPN = \frac{-1}{4\pi} \int_V dv' (-4\pi) \delta(\vec{r} - \vec{r}') = 1 \quad (8.27)$$

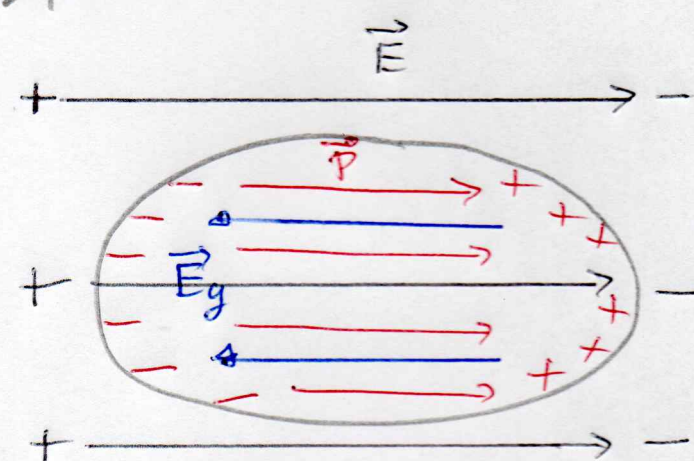
da angenommen wurde, dass \vec{r} innerhalb des Volumens V liegt. Im Falle eines symmetrischen Volumens lässt sich diese Gleichung ausnutzen, um den Entelektrisierungstensor festzulegen, obwohl das Oberflächenintegral (8.22) ausdrücklich zu machen. Beispielsweise gilt für eine Kugel aus Symmetriegründen

$$N = \frac{1}{3} \begin{pmatrix} 1 & 0 & 0 \\ 0 & 1 & 0 \\ 0 & 0 & 1 \end{pmatrix} \quad (8.28)$$

in Übereinstimmung mit (8.27).

8.1.4 Elektrisches Verdrängungsfeld:

Im Allgemeinen liegen in einem Medium sowohl freie als auch gebundene Ladungen vor. Die gesamte Ladungs-



dichte lautet daher

$$S(\vec{r}) = S_f(\vec{r}) + S_g(\vec{r}) \quad (8.29)$$

wobei die Ladungsdichte der gebundenen Ladungen durch (8.16) gegeben ist. Das entsprechende Gauß-Gesetz der Elektrostatisik lautet daher:

$$\operatorname{div} \vec{E}(\vec{r}) = \frac{S(\vec{r})}{\epsilon_0} \quad (8.16), (8.29) \quad \frac{S_f(\vec{r})}{\epsilon_0} - \operatorname{div} \vec{P}(\vec{r}) \quad (8.30)$$

Führt man das dielektrische Verdrängungsfeld

$$\vec{D}(\vec{r}) = \epsilon_0 \vec{E}(\vec{r}) + \vec{P}(\vec{r}) \quad (8.31)$$

ein, so folgt aus (8.30):

$$\operatorname{div} \vec{D}(\vec{r}) = S_f(\vec{r}) \quad (8.32)$$

das heißtt, dass die Quellen des dielektrischen Verdrängungsfeldes $\vec{D}(\vec{r})$ nur die freien Ladungen sind. Dies ist das Gauß-Gesetz für dielektrika. Offenbar hat die Umformulierung des Gauß-Gesetzes in dielektrika keine Auswirkungen auf die zweite Maxwell-Gleichung

$$\operatorname{rot} \vec{E}(\vec{r}) = 0 \quad (8.33)$$

Bildet man die Rotation von (8.31), so folgt mit (8.33)

$$\operatorname{rot} \vec{D}(\vec{r}) = \operatorname{rot} \vec{P}(\vec{r}) \quad (8.34)$$

Das bedeutet also, dass die Wirkeldichte des dielektrischen Verdrängungsfeldes $\vec{D}(\vec{r})$ durch die Wirkeldichte der Polarisatior $\vec{P}(\vec{r})$ gegeben ist. Aus (8.32) und (8.34) folgt also mit Hilfe des Helmholzschen Versatzes, dass zur Berechnung des dielektrischen Verdrängungsfeldes $\vec{D}(\vec{r})$ nicht nur die freie Ladungsdichte $S_f(\vec{r})$ sondern auch die Polarisatior $\vec{P}(\vec{r})$ berücksichtigt sein muss.

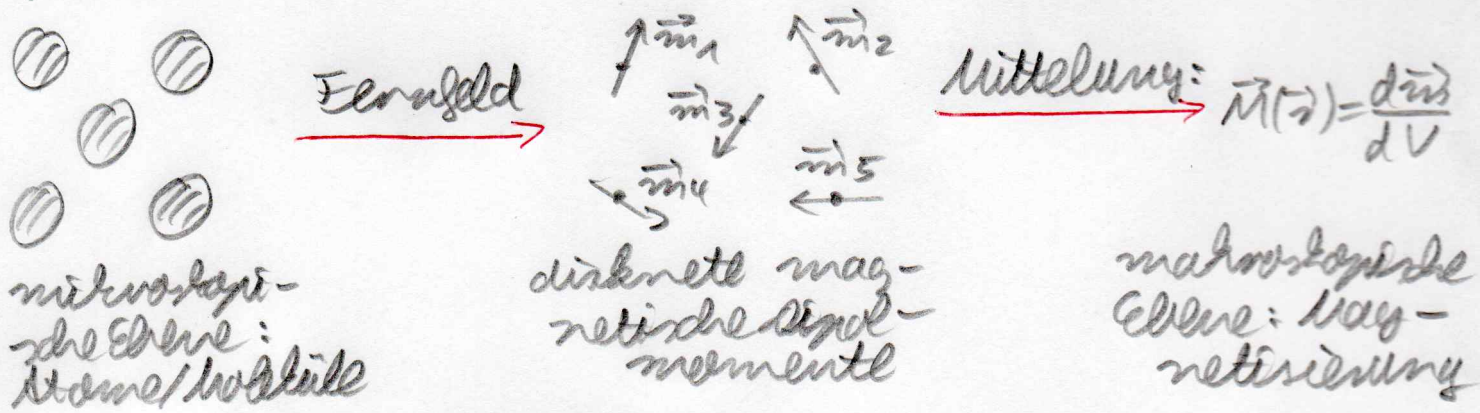
8.2 Makroskopische Magnetostatik:

Die bisherige Beschreibung der Magnetostatik ist auf Magnetfelder beschränkt, die durch freie Ströme im Vakuum hervorgerufen werden. Diese Beschreibung ist zu erweitern, um auch Magnetfelder in Materie bestimmen zu können. Durch die Unmöglichkeit eines äußeren Magnetfeldes werden in der Materie gleiche Ströme induziert, die bei Paramagnetismus (Diamagnetismus) zu einer Verstärkung (Verminderung) des von freien Strömen hervorgerufen-

nen Magnetfeldes in der Materie führen. Dieser Effekt wird quantitativ durch die Magnetisierung erfasst, die als Doppeldeutlichkeit das magnetische Moment pro Volumen beschreibt:

$$\vec{M} = \frac{d\vec{m}}{dV} \quad (8.35)$$

Bei dieser Definition der Magnetisierung wird ein Kontinuum angenommen. In Wirklichkeit aber werden die gebundenen Ströme in diskreten Domänen und Wohlkülen induziert. In der makroskopischen Magneto-Statik geht man daher analog zur magnetostatischen Elektrostatik vor und betrachtet Systemgrößen, die im Vergleich zu atomaren Skala über große aber im Vergleich zu Systemgröße kleine räumliche Schalen ausgeschlossen sind. Hierzu gehen wir von mittleren Größen zu nebstehen sind. Hierzu gehen wir von der bekannten mikroskopischen Magneto-Statik aus und erläutern, wie sich hieraus die makroskopische Magnetostatik ableiten lässt. Das folgende Schema fasst daher die Grundidee des Verfahrens prägnant zusammen:



8.2.1 Multipoletwicklung:

Eine mikroskopische Stromdichte $\vec{s}(\vec{r})$ führt zum Vektorpotential

$$\vec{A}(\vec{r}) = \frac{\mu_0}{4\pi} \int dV' \frac{\vec{s}(\vec{r}')}{|\vec{r} - \vec{r}'|} \quad (8.36)$$

Diese Stromdichte $\vec{s}(\vec{r})$ soll räumlich begrenzt sein

$$\vec{s}(\vec{r}') \begin{cases} \neq 0 & ; |\vec{r}'| < R \\ = 0 & ; |\vec{r}'| > R \end{cases} \quad (8.37)$$

und wir sind am Vektorpotential $\vec{A}(\vec{r})$ an einem Ort \vec{r} weit weg vom Bereich der Stromverteilung interessiert, so dass (8.4) gilt. Aufgrund der Taylor-Reihe

(8.5) geht dann (8.36) über in

$$\vec{A}(\vec{r}) = \frac{\mu_0}{4\pi} \int dV' \vec{s}'(\vec{r}') \frac{1}{r} + \frac{\mu_0}{4\pi} \int dV' \vec{s}'(\vec{r}') \frac{\vec{r} \cdot \vec{r}'}{r^3} + \dots \quad (8.38)$$

Zur Berechnung des ersten Volumenintegrals dividieren wir die Kontinuitätsgleichung der Magnetostatik (3.18) und betrachten das Integral

$$\int dV' \vec{s}_k(\vec{r}') \stackrel{(3.18)}{=} \int dV' [\vec{j}_k(\vec{r}') + \times_k \vec{d}\vec{w}' \vec{s}'(\vec{r}')] = \int dV' \vec{d}\vec{w}' [\times_k \vec{s}'(\vec{r}')] \quad (8.39)$$

daraufgrund des Satzes von Gauß und der Annahme (8.37) folgt aus (8.39)

$$\int dV' \vec{s}'(\vec{r}') = \vec{0} \quad (8.40)$$

sodass der erste Term in (8.38) verschwindet. Zur Verrechnung des zweiten Volumenintegrals in (8.38) verwenden wir erneut die Kontinuitätsgleichung der Magnetostatik und erhalten

$$\begin{aligned} \int dV' \times_k \vec{s}_i(\vec{r}') &\stackrel{(3.18)}{=} \int dV' [\times_k \vec{j}_i(\vec{r}') + \times_k \times_i \vec{d}\vec{w}' \vec{s}'(\vec{r}')] = \int dV' \times_k \vec{d}\vec{w}' [\times_i \vec{s}'(\vec{r}')] \\ &= \int dV' \vec{d}\vec{w}' [\times_k \times_i \vec{s}'(\vec{r}')] - \int dV' \times_i \vec{s}_k(\vec{r}') \stackrel{\text{Gauß}}{=} - \int dV' \times_i \vec{s}_k(\vec{r}') \end{aligned} \quad (8.41)$$

Multipliziert man (8.41) mit \times_k , so folgt die Identität

$$\int dV' \vec{s}'(\vec{r}') \vec{r} \cdot \vec{r}' = - \int dV' \vec{r}' [\vec{r} \cdot \vec{s}'(\vec{r}')] \quad (8.42)$$

Daraus folgt nun

$$\int dV' \vec{s}'(\vec{r}') \vec{r} \cdot \vec{r}' = \frac{1}{2} \int dV' \{ \vec{s}'(\vec{r}') \vec{r} \cdot \vec{r}' - \vec{r}' [\vec{r} \cdot \vec{s}'(\vec{r}')] \} \quad (8.43)$$

sodass wir mit der Vektoreindentität

$$\vec{a} \times (\vec{b} \times \vec{c}) = \vec{b}(\vec{a} \cdot \vec{c}) - \vec{c}(\vec{a} \cdot \vec{b}) \quad (8.44)$$

schließlich erhalten

$$\int dV' \vec{s}'(\vec{r}') \vec{r} \cdot \vec{r}' = \frac{1}{2} \int dV' [\vec{r}' \times \vec{s}'(\vec{r}')] \times \vec{r} \quad (8.45)$$

Einsetzen von (8.45) in (8.38) führt auf das Vektorpotential

$$\vec{A}(\vec{r}) = \frac{\mu_0}{4\pi} \frac{\vec{m} \times \vec{r}}{r^3} + \dots \quad (8.46)$$

Hierbei bezeichnet \vec{m} das magnetische Dipolmoment

$$\vec{m} = \frac{1}{2} \int dV' \vec{r}' \times \vec{s}'(\vec{r}') \quad (8.47)$$

der Stromdichte $\vec{s}'(\vec{r}')$. Zöhlene Multizellelemente in der Entwicklung (8.46) spielen in der Regel keine Rolle und können deshalb vernachlässigt werden.

8.2.2 Gelündene Ströme:

Betrachten wir nun ein Medium, dann führen die gebundenen Ströme in den Atomen und Molekülen zu Beitragern der Form (8.46) im Vektorpotential. Summieren wir über all diese Vektorpotentialbeiträge der jeweiligen magnetischen Dipolmomenten in den Orten \vec{r}_k auf, so erhalten wir

$$\vec{A}_g(\vec{r}) = \frac{\mu_0}{4\pi} \sum_k \frac{\vec{m}_k \times (\vec{r} - \vec{r}_k)}{|\vec{r} - \vec{r}_k|^3} \quad (8.48)$$

All diese diskreten Beitragsergänzen sich nun in eine Kontinuumssumme überführen

$$\vec{A}_g(\vec{r}) = \frac{\mu_0}{4\pi} \int_V dV' \frac{\vec{m}(\vec{r}') \times (\vec{r} - \vec{r}')} {|\vec{r} - \vec{r}'|^3} \quad (8.49)$$

wobei formal die Magnetisierung als Volumendichte der magnetischen Dipolmomente eingeht wird:

$$\vec{m}(\vec{r}) = \sum_k \vec{m}_k \delta(\vec{r} - \vec{r}_k) \quad (8.50)$$

Das Resultat (8.49) stellt zwar schon das gesuchte Ergebnis dar, da es den Einfluß der gebundenen Ströme auf das Vektorpotential beschreibt. Man kann aber (8.49) noch weiter umformen, um ein physikalisch intuitiveres Resultat zu erhalten.

Dazu setzen wir (8.42) in (8.49) ein:

$$\vec{A}_g(\vec{r}) = \frac{\mu_0}{4\pi} \int_V dV' \vec{m}(\vec{r}') \times \vec{r}' \frac{1}{|\vec{r} - \vec{r}'|} \quad (8.51)$$

Aufgrund der vektoranalytischen Identität mit $[\vec{m}(\vec{r}) \cdot \vec{\varphi}(\vec{r})] = \text{grad } \vec{\varphi}(\vec{r}) \times \vec{m}(\vec{r}) + \vec{\varphi}(\vec{r}) \text{ rot } \vec{m}(\vec{r})$ (8.52)

gilt (8.51) über in

$$\vec{A}_g(\vec{r}) = \frac{\mu_0}{4\pi} \int_V dV' \left\{ \frac{1}{|\vec{r} - \vec{r}'|} \text{ rot } \vec{m}(\vec{r}') - \text{rot}' \left[\frac{\vec{m}(\vec{r}')}{|\vec{r} - \vec{r}'|} \right] \right\} \quad (8.53)$$

Im zweiten Term wenden wir nun den Satz von Gauß in der Form (1.46) an. Dabei vernachlässigen wir auch hier nicht den resultierenden Oberflächenterm, da wir von einem endlichen Volumen V aus gehen. Damit erhalten wir aus (8.53)

$$\vec{A}_g(\vec{r}) = \frac{\mu_0}{4\pi} \int_V dV' \frac{\text{rot}' \vec{m}(\vec{r}')}{|\vec{r} - \vec{r}'|} + \frac{\mu_0}{4\pi} \int_{\partial V} \frac{\vec{m}(\vec{r}')}{|\vec{r} - \vec{r}'|} \times d\vec{F}' \quad (8.54)$$

Der erste Term entspricht dem Vektorpotential einer Volumenstromdichte

$$\vec{\delta}g(\vec{r}) = \text{rot } \vec{m}(\vec{r}) \quad (8.55)$$

Hierbei gilt die statische Kontinuitätsgleichung

$$\text{div } \vec{\delta}g(\vec{r}) = 0 \quad (8.56)$$

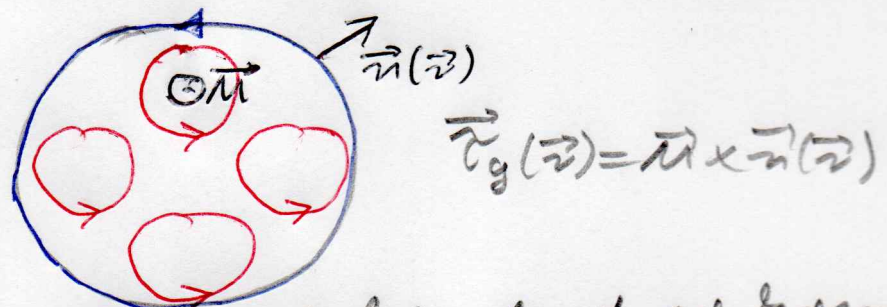
Der zweite Term entspricht dem Vektorpotential einer Oberflächentstromdichte

$$\vec{\tau}_g(\vec{r}) = \vec{m}(\vec{r}) \times \vec{n}(\vec{r}) \quad (8.57)$$

Dabei stammen die Beiträge (8.55) und (8.57) von den gebündelten Strömen.

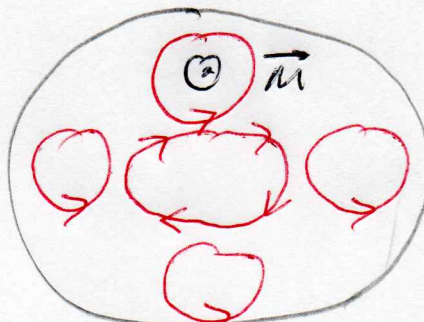
Auch hier kann man analog zur Elektrostatisik verstehen, wie die gebündelten Ströme aufgrund der Magnetisierung $\vec{m}(\vec{r})$ entstehen. Hierzu stellen wir uns $\vec{m}(\vec{r})$ aus kleinen magnetischen Dipolmomenten zusammen gestellt vor, die von Zerströmchen gebildet werden. Ist $\vec{m}(\vec{r}) = \text{const.}$, so kompensieren sich die entzweidenden Zerströme zwar im Inneren des Materials, nicht aber an der Oberfläche. Dies erklärt die Entstehung der Oberflächentstromdichte (8.57):

Oberflächentstromdichte



Ist $\vec{m}(\vec{r})$ aber nicht räumlich konstant, so kompensieren sich die Zerströme der einzelnen magnetischen Dipole nicht mehr im Volumen und es entsteht die Volumenstromdichte (8.55):

Volumenstromdichte



$$\vec{\delta}g(\vec{r}) = \text{rot } \vec{m}(\vec{r})$$

Mit Zelle von (8.55) und (8.57) geht (8.54) in das Ergebnis für das Vektorpotential gebundenen Ströme über:

$$\vec{A}_g(\vec{r}) = \frac{\mu_0}{4\pi} \int_V dV' \frac{\vec{B}_g(\vec{r}')}{|\vec{r} - \vec{r}'|} + \frac{\mu_0}{4\pi} \oint_{\partial V} dF' \frac{\vec{B}_g(\vec{r}')}{|\vec{r} - \vec{r}'|} \quad (8.58)$$

8.2.3 Entmagnetisierung:

Wir betrachten nun den Spezialfall einer räumlich konstanten Magnetisierung, d.h. $\vec{m}(\vec{r}) = \vec{m}$. Dann folgt aus (8.54)

$$\vec{A}_g(\vec{r}) = \frac{\mu_0}{4\pi} \oint_{\partial V} \frac{\vec{m} \times d\vec{F}(\vec{r}')}{|\vec{r} - \vec{r}'|} \quad (8.59)$$

Für die entsprechende magnetische Induktion

$$\vec{B}(\vec{r}) = \text{rot } \vec{A}_g(\vec{r}) \quad (8.60)$$

erhalten wir dann mit der vektoranalytischen Identität (8.52) das Zwischen Ergebnis

$$\vec{B}_g(\vec{r}) = \frac{\mu_0}{4\pi} \oint_{\partial V} \vec{\nabla} \frac{1}{|\vec{r} - \vec{r}'|} \times [\vec{m} \times d\vec{F}(\vec{r}')] \quad (8.61)$$

Aufgrund der Vektoridentität (8.44) reduziert sich (8.61) auf

$$\vec{B}_g(\vec{r}) = \frac{\mu_0}{4\pi} \oint_{\partial V} \left\{ \left[\vec{\nabla} \frac{1}{|\vec{r} - \vec{r}'|} \cdot d\vec{F}(\vec{r}') \right] \vec{m} - d\vec{F}(\vec{r}') \left[\vec{\nabla} \frac{1}{|\vec{r} - \vec{r}'|} \cdot \vec{m} \right] \right\} \quad (8.62)$$

Der erste Beitrag in (8.62) läuft sich analog zu (8.25)-(8.27) vereinfachen und ergibt:

$$\vec{B}_g^{(1)}(\vec{r}) = \mu_0 \vec{m} \quad (8.63)$$

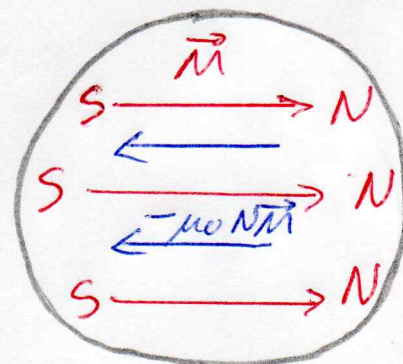
Der zweite Beitrag in (8.62) ist das sogenannte Streufeld

$$\vec{B}_g^{(2)}(\vec{r}) = -\mu_0 N \vec{m} \quad (8.64)$$

wobei der Entmagnetisierungsfaktor N mit dem Entelektrisierungsfaktor (8.22) übereinstimmt. Die magnetische Induktion einer räumlich konstanten Magnetisierung folgt aus (8.63) und (8.64) zu

$$\vec{B}_g(\vec{r}) = \mu_0(1-N) \vec{m} \quad (8.65)$$

Die Magnetisierung zeigt immer vom Südpol zum Nordpol. Eine homogen magnetisierte Rolle führt deshalb, abhängig von der Rollenform, zu einem Streufeld (8.64), das dem Magnetisierungsfaktor (8.63) entgegenwirkt.



8.2.4 Magnetische Feldstärke:

Im Allgemeinen liegen in einem Medium sowohl freie als auch gebundene Ströme vor. Die gesamte Stromdichte lautet daher

$$\vec{J}(\vec{r}) = \vec{J}_g(\vec{r}) + \vec{J}_{gl}(\vec{r}) \quad (8.66)$$

wobei die gebundene Stromdichte durch (8.55) gegeben ist. Die Stromdichte (8.66) erlaubt nach dem Amperé-Lawretta eine magnetische Induktion:

$$\text{rot } \vec{B}(\vec{r}) = \mu_0 \vec{J}(\vec{r}) \quad (8.67)$$

Einsetzen von (8.55) und (8.66) in (8.67) führt auf

$$\text{rot } \vec{B}(\vec{r}) = \mu_0 \vec{J}_g(\vec{r}) + \mu_0 \text{rot } \vec{M}(\vec{r}) \quad (8.68)$$

Wir definieren daher die magnetische Feldstärke

$$\vec{H}(\vec{r}) = \frac{1}{\mu_0} \vec{B}(\vec{r}) - \vec{M}(\vec{r}) \quad (8.69)$$

Dann erhalten wir ein Amperé-Lawretta für $\vec{H}(\vec{r})$, das nur die freien Ströme beinhaltet:

$$\text{rot } \vec{H} = \vec{J}_g(\vec{r}) \quad (8.70)$$

Allmählich ist die Wiederdichte der magnetischen Feldstärke durch die freien Ströme gegeben. Offenbar hat diese Formulierung des Amperé-Lawretta keine Auswirkung darauf, dass keine magnetischen Monopole existieren. Es gilt also nach wie vor

$$\text{div } \vec{B}(\vec{r}) = 0 \quad (8.71)$$

Bildet man die Divergenz von (8.69), so folgt mit (8.71)

$$\text{div } \vec{H}(\vec{r}) = - \text{div } \vec{M}(\vec{r}) \quad (8.72)$$

d.h. die Wiederdichte der magnetischen Feldstärke $\vec{H}(\vec{r})$ ist durch die Wiederdichte der Magnetisierung $\vec{M}(\vec{r})$ gegeben. Nach dem Ohm'schen Gesetz ist damit die magnetische Feldstärke $\vec{H}(\vec{r})$ nicht nur durch die freie Stromdichte $\vec{J}_g(\vec{r})$ sondern auch durch die Magnetisierung $\vec{M}(\vec{r})$ bestimmt.

8.3 Makroskopische Elektrodynamik:

Verbinden nun die makroskopische Elektrostatisik und die makroskopische Magnetostatik zusammen und erweitern diese noch dynamisch. Damit erhalten wir die makroskopische Elektrodynamik, die elektrodynamische Phänomene in Materie beschreibt.

8.3.1 Elektrisches Feld:

Die in Abschnitt 8.1.2 entwickelte Theorie gebundenen Ladungen im Rahmen der makroskopischen Elektrostatisik lässt sich damit für den ziemlich passim dynamisch erweitern. So wird z.B. die statische Polarisierung (8.11) dadurch dynamisch erweitert, dass sowohl die elektrischen Dipolmomente $\vec{p}_k(t)$ als auch deren Positionen $\vec{r}_k(t)$ zeitabhängig sein können:

$$\vec{P}(t) = \sum_k \vec{p}_k(t) \delta(\vec{r} - \vec{r}_k(t)) \quad (8.73)$$

An Ende führt diese dynamische Erweiterung dazu, dass auch die Volumenladungsdichte der gebundenen Ladungen (8.16) zeitabhängig wird:

$$\varrho_g(\vec{r}, t) = -\operatorname{div} \vec{P}(\vec{r}, t) \quad (8.74)$$

Deshalb lassen sich die Maxwell-Gleichungen für die elektrische Feldstärke

$$\operatorname{div} \vec{E}(\vec{r}, t) = \frac{\varrho_g(\vec{r}, t) + \varrho_f(\vec{r}, t)}{\epsilon_0} \quad (8.75)$$

$$\operatorname{rot} \vec{E}(\vec{r}, t) = - \frac{\partial \vec{B}(\vec{r}, t)}{\partial t} \quad (8.76)$$

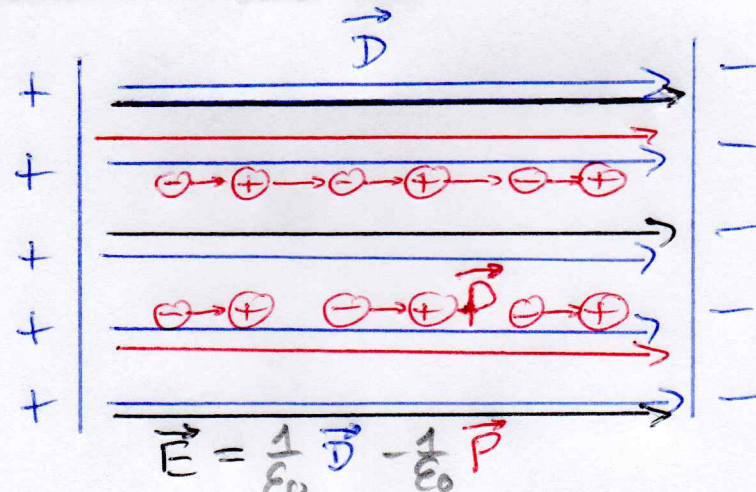
analog zu Abschnitt 8.1.4 in Materie umformulieren. Hierzu wird analog zu (8.31) das zeitabhängige dielektrische Verdrängungsfeld eingeführt

$$\vec{D}(\vec{r}, t) = \epsilon_0 \vec{E}(\vec{r}, t) + \vec{P}(\vec{r}, t) \quad (8.77)$$

so dass sich (8.75) aufgrund von (8.74) reduziert auf

$$\operatorname{div} \vec{D}(\vec{r}, t) = \varrho_f(\vec{r}, t) \quad (8.78)$$

während das Induktionsgesetz (8.76) nach wie vor gilt, bleibt. Damit haben wir auch im zeitabhängigen Fall bestimmen, wie das elektrische Feld freie Ladungen durch eine Polarisierung abgedämpft wird:



8.3.2 Magnetisches Feld:

Demgegenüber ist die dynamische Erweiterung der makroskopischen Magnetostatik aufwändiger. Das längt schon bei der Multizollentwicklung an, wo wir statt (8.38) zunächst

$$\vec{H}(\vec{r}, t) = \frac{\mu_0}{4\pi} \int dV' \vec{s}(\vec{r}', t) \frac{1}{r} + \frac{\mu_0}{4\pi} \int dV' \vec{s}(\vec{r}', t) \frac{2\vec{r}'}{r^3} + \dots \quad (8.79)$$

erhalten. Das erste Volumenintegral muss jetzt nämlich erneut berechnet werden, da statt der statischen Kontinuitätsgleichung (3.18) nun die volle Kontinuitätsgleichung (6.3) gilt. Analog zu (7.10)–(7.13) erhalten wir

$$\int dV' \vec{s}(\vec{r}', t) = \frac{\partial \vec{P}(t)}{\partial t} \quad (8.80)$$

mit dem zeitabhängigen elektrischen Dipolmoment (7.14). Im Unterschied dazu stellt sich aber heraus, dass die Überlegungen (8.41)–(8.45) zum zweiten Volumenintegral auch im dynamischen Fall gültig sind. Dabei erhalten wir statt (8.46) nun

$$\vec{P}(\vec{r}, t) = \frac{\mu_0}{4\pi} \frac{\partial \vec{P}(t)}{\partial t} \frac{1}{r} + \frac{\mu_0}{4\pi} \frac{\vec{m}(t) \times \vec{r}}{r^3} + \dots \quad (8.81)$$

mit dem zeitabhängigen magnetischen Dipolmoment

$$\vec{m}(t) = \frac{1}{2} \int dV' \vec{r}' \times \vec{s}(\vec{r}', t) \quad (8.82)$$

Aufbauend darauf lässt sich dann analog zu Abschnitt 8.2.2 die Theorie geladener Ströme dynamisch erweitern. Dabei erhalten wir z.B. statt (8.48) nun

$$\vec{A}_g(\vec{r}, t) = \frac{\mu_0}{4\pi} \sum_k \frac{\partial \vec{P}_k(t)}{\partial t} \frac{1}{|\vec{r} - \vec{r}_k(t)|} + \frac{\mu_0}{4\pi} \sum_k \frac{\vec{m}_k(t) \times [\vec{r} - \vec{r}_k(t)]}{|\vec{r} - \vec{r}_k(t)|^3} \quad (8.83)$$

und entsprechend statt (8.49)

$$\vec{A}_g(\vec{r}, t) = \frac{\mu_0}{4\pi} \int dV' \left\{ \frac{\partial \vec{P}(\vec{r}', t)}{\partial t} \frac{1}{|\vec{r} - \vec{r}'|} + \frac{\vec{m}(\vec{r}', t) \times (\vec{r} - \vec{r}')}{|\vec{r} - \vec{r}'|^3} \right\} \quad (8.84)$$

wobei die Polarisierung (8.73) und die dynamische Verallgemeinerung der statischen Magnetisierung (8.50) auftritt:

$$\vec{m}(\vec{r}, t) = \sum_k \vec{m}_k(t) \delta(\vec{r} - \vec{r}_k(t)) \quad (8.85)$$

aus analogen Überlegungen wie zur makroskopischen Magnetostatik erhalten wir aus (8.84) schließlich das Ergebnis, dass die Volumenkondensität der gebundenen Ströme nun aus zwei Beiträgen besteht:

$$\vec{J}_g(\vec{r}, t) = \frac{\partial \vec{P}(\vec{r}, t)}{\partial t} + \text{rot} \vec{m}(\vec{r}, t) \quad (8.86)$$

Dabei ist zu beachten, dass geladene Volumenladungs- und -stromdichte (8.74) und (8.86) einer Kontinuitätsbedingung genügen:

$$\frac{\partial \vec{J}_g(\vec{r}, t)}{\partial t} + \text{div} \vec{J}_g(\vec{r}, t) = 0 \quad (8.87)$$

Und schließlich lassen sich am Ende auch die Maxwell-Gleichungen für die magnetische Induktion

$$\text{div} \vec{B}(\vec{r}, t) = 0 \quad (8.88)$$

$$\text{rot} \vec{B}(\vec{r}, t) = \mu_0 [\vec{J}_g(\vec{r}, t) + \vec{J}_g(\vec{r}, t)] + \frac{1}{c^2} \frac{\partial \vec{E}(\vec{r}, t)}{\partial t} \quad (8.89)$$

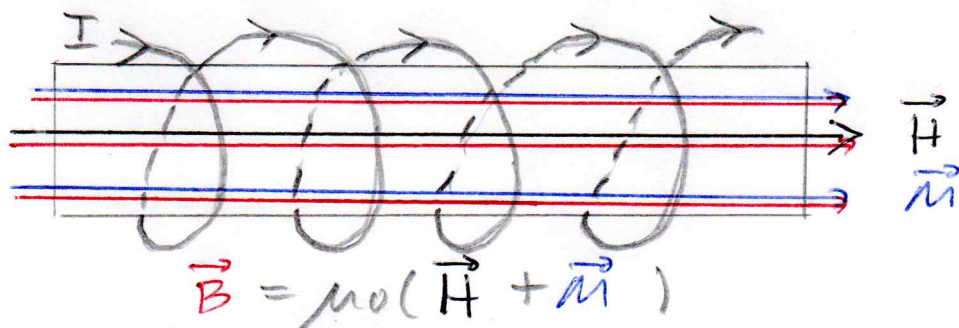
analog zu Abschnitt 8.2.4 in Materie umschreiben. Hierzu führen wir analog zu (8.69) die zeitabhängige magnetische Feldstärke ein

$$\vec{H}(\vec{r}, t) = \frac{1}{\mu_0} \vec{B}(\vec{r}, t) - \vec{m}(\vec{r}, t) \quad (8.90)$$

Einsetzen von (8.77), (8.86) und (8.90) in (8.89) führt mit Hilfe von (4.17) auf

$$\begin{aligned} \text{rot} (\mu_0 \vec{H} + \mu_0 \vec{m}) &= \mu_0 \vec{J}_g + \mu_0 \frac{\partial \vec{P}}{\partial t} + \mu_0 \text{rot} \vec{m} + \mu_0 \frac{\partial \vec{B}}{\partial t} - \mu_0 \frac{\partial \vec{P}}{\partial t} \\ \Rightarrow \text{rot} \vec{H}(\vec{r}, t) &= \vec{J}_g(\vec{r}, t) + \frac{\partial \vec{B}(\vec{r}, t)}{\partial t} \end{aligned} \quad (8.91)$$

während (8.88) auch für geladene Ladungen und Ströme gültig bleibt. Damit haben wir auch im zeitabhängigen Fall bestimmen, wie das magnetische Feld zweier Ströme durch Magnetisierung der Materie bei Paramagnetismus verändert wird:



8.3.3 Zusammenfassung:

Die Elektrodynamik in Materie besteht aus den beiden homogenen Maxwell-Gleichungen (8.76) und (8.88) sowie den beiden inhomogenen Maxwell-Gleichungen (8.78) und (8.90). Dabei sind die Zugsfelder $\vec{D}(\vec{r}, t)$ und $\vec{H}(\vec{r}, t)$

durch die freien Ladungen und Ströme bestimmt. Die physikalisch relevanten Felder sind daher $\vec{E}(\vec{r}, t)$ und $\vec{B}(\vec{r}, t)$, da sie eine Lorentz-Kraft (4.18) auf reihende bzw. kreisförmige Ladungswellen ausüben. Gemäß (8.77) und (8.90) sind aber $\vec{E}(\vec{r}, t)$ und $\vec{B}(\vec{r}, t)$ erst dann bekannt, wenn man die Polarisierung $\vec{P}(\vec{r}, t)$ und die Magnetisierung $\vec{M}(\vec{r}, t)$ der Materie kennt.

8.3.4 Materialgleichungen:

Um die Maxwell-Gleichungen in Materie anwenden zu können, benötigt man Kenntnisse über $\mathfrak{g}(\vec{r}, t)$, $\vec{s}(\vec{r}, t)$, $\vec{P}(\vec{r}, t)$ und $\vec{M}(\vec{r}, t)$, die im Rahmen von Materialgleichungen formuliert werden. Im Allgemeinen sind diese Materialgleichungen sehr kompliziert. Ein viele Jahre Materialgleichungen sehr einfache Materialgleichungen, die wir nun zusammenstellen:

- Normale Leiter sind elektrisch neutral

$$\mathfrak{g}(\vec{r}, t) = 0 \quad (8.92)$$

und erfüllen das Ohmsche Gesetz

$$\vec{s}(\vec{r}, t) = \sigma \vec{E}(\vec{r}, t) \quad (8.93)$$

zurbei bestimmt die Leitfähigkeit des Leiters.

- Dielektrika (Isolatoren) haben die Eigenschaft, dass deren Polarisierung $\vec{P}(\vec{r}, t)$ proportional zur elektrischen Feldstärke $\vec{E}(\vec{r}, t)$ ist

$$\vec{P}(\vec{r}, t) = \epsilon_0 \chi_e \vec{E}(\vec{r}, t) \quad (8.94)$$

wobei man χ_e als elektrische Suszeptibilität bezeichnet. Damit gilt (8.77) über in

$$\vec{s}(\vec{r}, t) = \epsilon_0 \epsilon_r \vec{E}(\vec{r}, t) \quad (8.95)$$

wobei

$$\epsilon_r = 1 + \chi_e \quad (8.96)$$

die relative Dielektrizitätszahl darstellt.

- Magnetische Leiter haben die Eigenschaft, dass deren Magnetisierung $\vec{M}(\vec{r}, t)$ proportional zur magnetischen Feldstärke $\vec{H}(\vec{r}, t)$ ist

$$\vec{M}(\vec{r}, t) = \chi_m \vec{H}(\vec{r}, t) \quad (8.97)$$

wobei χ_m die magnetische Suszeptibilität darstellt. Damit gilt (8.90) über in

$$\vec{B}(\vec{r}, t) = \mu_0 \mu_r \vec{H}(\vec{r}, t) \quad (8.98)$$

mit der relativen Permeabilitätskonstanten

$$\mu_r = 1 + \chi_m \quad (8.99)$$

Ist $\chi_m > 0$ spricht man vom Paramagnetismus, ist dagegen $\chi_m < 0$ vom Diamagnetismus. Die relative Permeabilitätskonstante μ_r eines Stoffs setzt an, auf das Weißebach die magnetische Flussdichte $\vec{B}(\vec{r}, t)$ gegenüber dem Vakuum erhöht, wenn man den Feldbereich mit dem Stoff ausfüllt. Sie meisten Stoffe beeinflussen das Magnetfeld kaum. Besonders sind Eisen, Kobalt, Nickel, deren Ferromagnetismus die Flussdichten verstärkt und μ_r anwachsen lassen:

Stoff	μ_r
Luft	1,000 0004
Wasser	0,99949
Luftseiten	8000

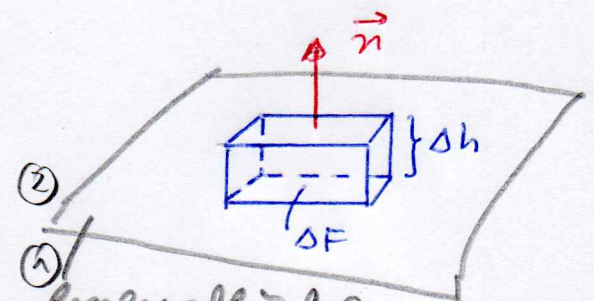
3.4 Grenzflächenbedingungen:

Zuden Maxwellsschen Differentialgleichungen gehören die Randbedingungen an den Grenzflächen zweier Medien, wie z.B. Luft-Wasser oder Dielektrikum-Metall, zwischen Platten. Erst wenn das gesamte Randwertproblem bekannt ist, sind die elektromagnetischen Felder eindeutig festgelegt.

3.4.1 Gaußscher Satz:

Wir betrachten einen Quader mit einer infinitesimalen Höhe Δh , einer Fläche ΔF und dem Volumen $\Delta V = \Delta h \cdot \Delta F$ längs einer Grenzfläche mit Normalenvektor \vec{n} . Dann folgt aus der Maxwell-Gleichung (8.78) und dem Gaußschen Satz

$$\oint_{\partial \Delta V} \vec{D} \cdot d\vec{F} = \int_{\Delta V} \rho_f dV = \Delta Q \quad (8.100)$$



Wir werten nun (8.100) im Limes $\Delta h \rightarrow 0$ aus. Zum einen kann man beim Grenzflächenintegral den Kapitanteil vernachlässigen und sich auf den Boden- und Deckenanteil konzentrieren:

$$\Delta F \vec{n} \cdot (\vec{D}_2 - \vec{D}_1) = \Delta Q \quad (8.101)$$

Zum anderen kann man die Ladung ΔQ des Quaders aus der Flächenladungsdichte σ_S der Grenzfläche berechnen:

$$\Delta Q = \sigma_S \Delta F \quad (8.102)$$

Aus (8.101) und (8.102) gewinnen wir damit eine Vorausbedingung für die Normalenkomponente der dielektrischen Verdrängung:

$$\vec{n} \cdot (\vec{D}_2 - \vec{D}_1) = \sigma_S \quad (8.103)$$

Genaue entsprechende Überlegungen mit der Maxwell-Gleichung (8.88) führen zur die magnetische Flussdichte \vec{B} zum Ergebnis

$$\vec{n} \cdot (\vec{B}_2 - \vec{B}_1) = 0 \quad (8.104)$$

d.h. deren Normalenkomponente ist an der Grenzfläche stetig.

8.4.2 Stokes'scher Satz:

Wir betrachten ein Rechteck mit einer infinitesimalen Höhe Δh , einer Länge ΔL und einer Fläche $\Delta F = \Delta h \Delta L$ längs der Grenzfläche mit dem Tangentialvektor \vec{t} . Dann folgt aus der Maxwell-Gleichung (8.91) und dem Stokes'schen Satz

$$\oint_{\partial \Delta F} \vec{H} \cdot d\vec{s} = \int_{\Delta F} \vec{J} \cdot d\vec{F} + \frac{\partial}{\partial t} \int_{\Delta F} \vec{D} \cdot d\vec{F} \quad (8.105)$$

Wir werten nun (8.105) im Limes $\Delta h \rightarrow 0$ aus:

$$\oint_{\partial \Delta F} \vec{H} \cdot d\vec{s} = \Delta L \vec{t} \cdot (\vec{H}_2 - \vec{H}_1) \quad (8.106)$$

$$\int_{\Delta F} \vec{J} \cdot d\vec{F} \sim \Delta h \rightarrow 0 \quad (8.107)$$

Dabei berechnet ΔI den Strom durch das Rechteck im

Limes $\Delta h \rightarrow 0$, dann führen wir eine Oberflächenstromdichte $i_g = \Delta I / \Delta L$ ein. Sie ist die Komponente eines Vektors \vec{i}_g , der sowohl entgegen \vec{t} als auch senkrecht zu \vec{n} ist:

$$\Delta I = \Delta L \vec{i}_g \cdot (\vec{n} \times \vec{t}) \quad (8.109)$$

Demnach folgt aus (8.105) - (8.109)

$$\vec{t} \cdot (\vec{H}_2 - \vec{H}_1) = \vec{i}_g \cdot (\vec{n} \times \vec{t}) \quad (8.110)$$

Zuerst stellen \vec{t} und $\vec{n} \times \vec{t}$ zwei zueinander senkrechte Tangentialvektoren der Grenzfläche dar, d.h. es gilt auch

$$(\vec{n} \times \vec{t}) \cdot (\vec{H}_2 - \vec{H}_1) = \vec{i}_g [\vec{n} \times (\vec{n} \times \vec{t})] = -\vec{i}_g \vec{t} \quad (8.111)$$

Beide Gleichungen (8.110) und (8.111) lassen sich zusammenfassen durch:

$$\vec{n} \times (\vec{H}_2 - \vec{H}_1) = \vec{i}_g \quad (8.112)$$

In der Tat erhält man (8.110) und (8.111), wenn man (8.112) skalar mit $\vec{n} \times \vec{t}$ und \vec{t} multipliziert:

$$(\vec{n} \times \vec{t}) \cdot [\vec{n} \times (\vec{H}_2 - \vec{H}_1)] = (\vec{H}_2 - \vec{H}_1) \cdot \underbrace{[\vec{n} \times \vec{t}] \times \vec{n}}_{= -\vec{t}} = \vec{i}_g \cdot (\vec{n} \times \vec{t}) \quad \checkmark$$

$$\vec{t} \cdot [\vec{n} \times (\vec{H}_2 - \vec{H}_1)] = (\vec{H}_2 - \vec{H}_1) \cdot (\vec{t} \times \vec{n}) = \vec{i}_g \cdot \vec{t} \quad \checkmark$$

Zuerst stellt (8.112) eine Gleichung für die Tangentialkomponente der magnetischen Feldstärke dar. Genausprechende Überlegungen mit der Maxwell-Gleichung (8.76) führen für die elektrische Feldstärke zum Ergebnis

$$\vec{n} \times (\vec{E}_2 - \vec{E}_1) = \vec{0} \quad (8.113)$$

d.h. die Tangentialkomponente der elektrischen Feldstärke ist stetig.